

## บทที่ 2

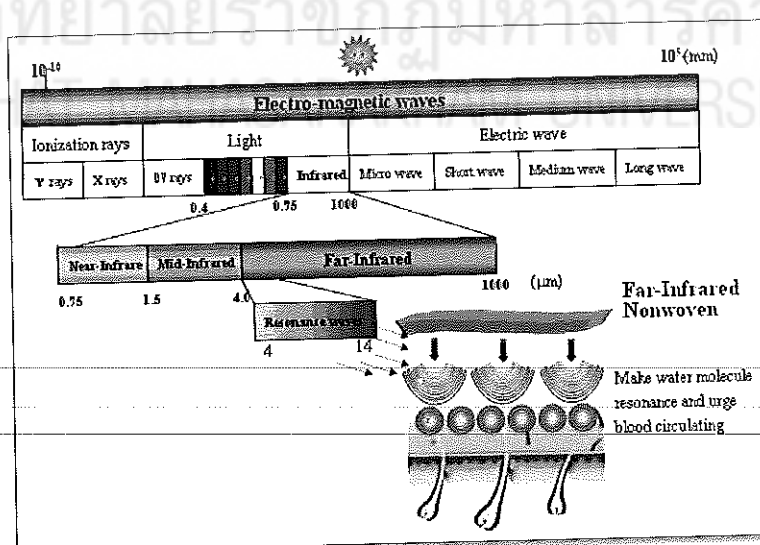
### ทฤษฎีและงานวิจัยที่เกี่ยวข้อง

#### 2.1 รังสีอินฟราเรด

รังสีอินฟราเรดเป็นรังสีชนิดหนึ่งในสเปกตรัมแสงเป็นคลื่นแม่เหล็กไฟฟ้าที่มีความยาวคลื่นระหว่าง 700 นาโนเมตร - 1 มิลลิเมตร (Sandu , C. 1986) รังสีอินฟราเรดสามารถปล่อยพลังงานความร้อนออกมากได้ รังสีอินฟราเรดจะแผ่รังสีความร้อนไปยังวัตถุโดยตรง ซึ่งไม่ต้องอาศัยตัวกลางในการเคลื่อนที่ด้วยเหตุนี้จึงมีการระบุชื่ออินฟราเรดไว้เจาะจงได้ เช่น อินฟราเรดใกล้ (Near Infrared) หมายถึงอินฟราเรดที่มีความยาวคลื่นอยู่ใกล้แสงที่ตามองเห็น ส่วน อินฟราเรดไกล (Far Infrared) จะหมายถึงอินฟราเรดที่มีความยาวคลื่นไกลกว่า ไมโครเวฟ

##### 2.1.1 ประเภทของรังสีอินฟราเรด

รังสีอินฟราเรด (Infrared) ความยาวคลื่นในช่วงนี้โดยทั่วไปแบ่งได้ 3 ระดับ ตามความยาวคลื่น (Sakai N., Hanzawa. T., 1994) ดังรูปที่ 2.1



รูปที่ 2.1 แสดงช่วงห่างของสเปกตรัมอินฟราเรด  
ที่มา (Caefit Therapy, 2012)

โดยรังสีอินฟราเรดไกลัจจะมีความยาวคลื่นสั้น อินฟราเรคคล่างมีความยาวคลื่นปานกลางและอินฟราเรดไกลามีความยาวช่วงคลื่นมากที่สุด ความยาวช่วงคลื่นแต่ละระดับมีการกำหนดแตกต่างกันไป (Sandu, 1986 : 109-119) ได้กำหนดช่วงคลื่นของรังสีอินฟราเรดไกลัจอยู่ในช่วง 0.75 - 3 ไมโครเมตร ( $\mu\text{m}$ ) รังสีอินฟราเรคคล่างอยู่ในช่วง 3 – 25 ไมโครเมตร ( $\mu\text{m}$ ) และรังสีอินฟราเรดไกลอยู่ในช่วง 25 – 100 ไมโครเมตร ( $\mu\text{m}$ ) ส่วน (Science and Technology for Kids, 2004 : Web Site) และ(นกคล ทองอยู่สุข, 2548) ได้กำหนดช่วงคลื่นของรังสีอินฟราเรด เป็น 5 ช่วงคืออินฟราเรคระยะใกล้ Near Infrared (NIR) ความยาวคลื่นจะอยู่ในช่วงระหว่าง 0.7 ถึง 1.5 ไมโครเมตร ( $\mu\text{m}$ ) อินฟราเรคระยะสั้น Short Wavelength Infrared (SWIR) ความยาวคลื่นจะอยู่ในช่วงระหว่าง 1.5 ถึง 3 ไมโครเมตร ( $\mu\text{m}$ ) อินฟราเรคระยะกลาง Mid Wavelength Infrared (MWIR) ความยาวคลื่นจะอยู่ในช่วงระหว่าง 3 ถึง 8 ไมโครเมตร ( $\mu\text{m}$ ) อินฟราเรคระยะกลาง Long Wavelength Infrared (LWIR) ความยาวคลื่นจะอยู่ในช่วงระหว่าง 8 ถึง 15 ไมโครเมตร ( $\mu\text{m}$ ) อินฟราเรคระยะไกล Far Infrared (FIR) ความยาวคลื่นจะมากกว่า 15 ไมโครเมตร ( $\mu\text{m}$ )

อินฟราเรดไกลเป็นคลื่นความร้อน เมื่อร่างกายของเราได้รับแสงแดด หรืออยู่ใกล้ก้องไฟ แล้วรู้สึกร้อน ซึ่งเป็นผลของรังสีอินฟราเรคชนิดนี้ทั้งสิ้น ระบบประสาทสัมผัสที่มีปลายเส้นประสาทอยู่ตามใต้ผิวนังสามารถตรวจจับคลื่นความร้อนนี้ได้เพื่อให้รับรู้ถึงความแตกต่างระหว่างอุณหภูมิของร่างกายกับสิ่งที่สัมผัสนอกผิวนังและเนื่องจากตาของมนุษย์มีความไวต่อแสงเฉพาะในช่วงแสงของเห็นซึ่งมีความยาวคลื่นประมาณ 0.4 – 0.7 ไมโครเมตร ( $\mu\text{m}$ ) ดังนั้น ตาของมนุษย์จึงไม่สามารถมองเห็นแสงอินฟราเรด แต่เนื่องจากวัสดุทุกชนิดที่มีอุณหภูมิสูงกว่าศูนย์องศาสัมบูรณ์จะเปล่งรังสีอินฟราเรดออกมามากmo ดังนั้นถ้าเราสามารถตรวจวัดรังสีอินฟราเรดด้วยสิ่งประดิษฐ์บางอย่าง เรายังจะสามารถตรวจวัดวัสดุได้ด้วยรังสีอินฟราเรดซึ่งรังสีอินฟราเรดมีประโยชน์ต่อมนุษย์มากmany การศึกษาและใช้งานรังสีอินฟราเรดควรทำความเข้าใจที่จากการปฏิบัติการดำเนินรังสีอินฟราเรดและวิธีการวัด

### 2.1.2 กติกาการแผ่รังสีอินฟราเรด

เมื่อรังสีคลื่นแม่เหล็กไฟฟ้าตกกระทบและแพร่กระจาย (Propagate) ผ่านวัสดุทำให้เกิดการสูญหายของรังสี (Extinction of Radiation) เนื่องจากรังสีบางส่วนจะถูกวัสดุดูดกลืน (Absorption) และเปลี่ยนแปลงไปเป็นพลังงานความร้อนภายในตัววัสดุ บางส่วนเกิดการกระเดิง (Scattering) ทำให้รังสีมีทิศทางแตกต่างจากทิศทางของรังสีจากแหล่งกำเนิด ซึ่งเครื่องมือวัดอุณหภูมิแบบอินฟราเรคนั้นจะใช้หลักการแผ่รังสี โดยเครื่องมือจะทำหน้าที่รับรังสีความร้อนที่แผ่ออกมายาวๆ ต่อๆ กัน การแผ่รังสีเป็นการถ่ายเทความร้อน ซึ่งมากจากการที่วัสดุที่มีอุณหภูมิในตัวมัน

จะสามารถเปลี่ยนรังสีอินฟราเรดออกม่า ถ้าวัตถุนั้นเปลี่ยนรังสีอินฟราเรดที่มีความเข้มมาก แสดงว่า วัตถุนั้นมีอุณหภูมิสูง และถ้าวัตถุนั้นเปลี่ยนรังสีอินฟราเรดออกม่ามีความเข้มน้อยก็แสดงว่า วัตถุนั้นมีอุณหภูมิต่ำนั่นเอง ดังนั้นวัตถุทุกชนิดในโลกนี้จะเปลี่ยนรังสีอินฟราเรดออกม่าแตกต่าง กัน

### 2.1.3 การคูดกลืนรังสีอินฟราเรด

การคูดกลืนรังสีอินฟราเรดของสารมีลักษณะเช่นเดียวกับการคูดกลืนรังสีชนิด อื่นๆ นั่นคือไม่เลกูลหนึ่งจะคูดกลืนรังสีที่มีพลังงานพอดีที่ทำให้เกิดการกระซิบหนึ่งๆ เท่านั้น โดยวัสดุแต่ละชนิดจะคูดกลืนรังสีที่มีความถี่เฉพาะแตกต่างกันไป การคูดกลืนขนาดพลังงาน ที่เฉพาะนี้ เราเรียกว่าเป็น Quantized Energy ผลของการคูดกลืนพลังงานที่เฉพาะนี้ ทำให้เรา ทราบได้ว่าเป็นการคูดกลืนรังสีที่เกิดจากวัสดุชนิดใด อย่างไรก็ตามหากการเคลื่อนไหวของพันธะ เป็นการเคลื่อนไหวในลักษณะที่ไม่เกิดการเปลี่ยนแปลงได้ โพลโมเมนต์ (Dipole Moment) แล้ว เราจะตรวจไม่พบการคูดกลืนแสงของพันธะนั้นๆ ยิ่งการเคลื่อนไหวของพันธะที่ก่อให้เกิด ได้โพลโมเมนต์มากเท่าใด สัญญาณที่ตรวจได้จะยิ่งสูงขึ้นเท่านั้น

### 2.1.4 ข้อดีข้อเสียการประยุกต์ใช้รังสีอินฟราเรด

สำหรับการประยุกต์ใช้รังสีอินฟราเรดกับการอบแห้งผลิตภัณฑ์ทางการเกษตร พนบ่วมีข้อดีและข้อเสีย ดังนี้

#### ข้อดี

1. อุปกรณ์กำเนิดรังสีอินฟราเรดมีประสิทธิภาพสูง ในการเปลี่ยนพลังงานไฟฟ้าเป็นพลังงานความร้อน
2. การถ่ายโอนพลังงานความร้อนไปสู่ผลิตภัณฑ์มีประสิทธิภาพสูง สร้างผลให้ลดเวลาการอบแห้งและค่าใช้จ่ายในด้านพลังงาน
3. รังสีอินฟราเรดสามารถทดสอบอุณหภูมิของวัสดุไปในผลิตภัณฑ์ได้โดยตรง โดยไม่อาศัยการทำให้สั่นแรงแล้วดูจากอุณหภูมิที่ร้อนขึ้นก่อน
4. การให้ความร้อนแก่ผลิตภัณฑ์จะมีความสม่ำเสมอมากกว่าการอบแห้งแบบการพาอากาหาร เนื่องจากพื้นผิวที่ไม่สม่ำเสมอของผลิตภัณฑ์จะมีอิทธิพลน้อยมากต่อการถ่ายเทความร้อน

5. โครงสร้างความชื้น (Moisture Profile) ในผลิตภัณฑ์ทั้งหมดจะอยู่ในระดับเดียวกัน ทำให้ผลิตภัณฑ์เสียหายต่ำ
6. ง่ายต่อการปรับเปลี่ยนเงื่อนไขการให้ความร้อนแก่ผลิตภัณฑ์ต่างชนิดกัน
7. แหล่งกำเนิดรังสีอินฟราเรดมีราคาถูกเมื่อเทียบกับแหล่งกำเนิดแบบไดอิเลคทริก (Dielectric) และในโครงสร้างที่ยังมีอายุการใช้งานที่ยาวนานและค่าบำรุงรักษាត่ำกว่า
8. การติดตั้งหลอดรังสีอินฟราเรดใช้พื้นที่น้อย สามารถติดตั้งร่วมกับการใช้เครื่องอบแห้งแบบอื่นๆ ได้ง่าย และยังคงความคุณการทำงานได้ดี
9. อากาศภายในเครื่องอบจะไม่ร้อน ส่งผลให้อุณหภูมิของอาหารอบนอยู่ในระดับปกติ
10. รังสีอินฟราเรดไม่เป็นอันตรายต่อสิ่งแวดล้อมและมนุษย์

#### ข้อเสีย

1. ประสิทธิภาพของการอบแห้งจะต่ำลงเมื่อผลิตภัณฑ์มีความหนามากกว่าความต้านทานไฟฟ้าและจะส่งผลทำให้เกิดความเสียหายต่อผลิตภัณฑ์หลังการอบแห้งเป็นระยะเวลานานๆ เช่น การเกิดรอยไหม้ที่ผิวผลิตภัณฑ์
2. หากต้องการกำหนดความยาวคลื่นแบบคลื่นเดียว (Monochromatic) ของรังสีอินฟราเรดให้ตรงกับสเปกตรัมของการดูดกลืนของผลิตภัณฑ์ จะทำได้ยากเนื่องจากแหล่งกำเนิดรังสีอินฟราเรดที่ผลิตในทางอุตสาหกรรมจะผลิตออกมานเป็นแบบหลายความยาวคลื่น (Polychromatic)
3. แหล่งกำเนิดรังสีอินฟราเรดคลื่นยาวที่ทำจากเซรามิกอาจมีประสิทธิภาพต่ำลงหากใช้ร่วมกับการอบแห้งที่ใช้ความเร็วของกระแสอากาศสูงๆ เนื่องจากเกิดการระบายความร้อนออกจากผิวของแหล่งกำเนิด

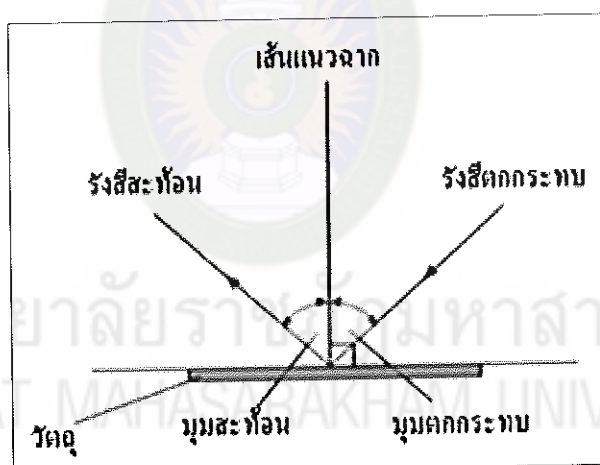
#### 2.1.5 การประยุกต์ใช้รังสีอินฟราเรด

ปัจจุบันในต่างประเทศมีนักวิทยาศาสตร์ได้ทำการประดิษฐ์คิดค้นอุปกรณ์และเครื่องมือวัดที่ใช้หลักการแห่งรังสีอินฟราเรดขึ้นหลายบริษัท จากการศึกษาการประยุกต์ใช้งานของรังสีอินฟราเรด ก็มีผู้ทำการศึกษาวิจัยและประยุกต์ใช้งานจากอินฟราเรดอย่างกว้างขวาง เช่น กล้องถ่ายรูปใช้กล้องคืน และกล้องส่องทางไกลที่ใช้ในเวลากลางคืน แสดงภาพความร้อนเพิ่มความปลอดภัยเวลาขับรถในเวลากลางคืน รีโมทคอนโทรลในเครื่องใช้ไฟฟ้าก็เป็นอินฟราเรด

อีกชนิดหนึ่ง การໄล่ล่าทางทหาร มิติไซ ที่ใช้ໄล่ล่าเครื่องบินก็เป็นอินฟราเรดอีกชนิดหนึ่ง เครื่องกำเนิดความร้อนทั่วไป เช่นเตาแก๊สอินฟราเรดในครัวเรือน เครื่องกำเนิดความร้อนในห้องช่าวคันน่า ปัจจุบันเป็นวิธีการภายในบ้านที่ปลอดภัยชนิดหนึ่ง เช่น ความร้อนอุณหภูมิต่ำมาจากการอินฟราเรด สามารถเข้าถึงผิวหนัง 1-1.5 มิลลิเมตร การปอดหัวเข่า หรือทำให้แผลเรื้อรังโดยพิทหมูนเวียนดีขึ้นจึงทำให้แพทยายิ่ง

## 2.2 กฎการสะท้อนของรังสี

เมื่อรังสีของแสงตกกระทบผิวต่อที่จุดใดก็ตาม ถ้าเราลากเส้นตั้งฉากกับผิวต่อที่นั้น เส้นตั้งฉากที่ลากนี้เรียกว่า เส้นแนวฉาก และเรียกมุมที่รังสีตกกระทบทำกับเส้นแนวฉากว่า มุมตกลง นูมที่รังสีสะท้อนทำกับแนวฉาก เรียกว่า นูมสะท้อน ดังรูปที่ 2.2

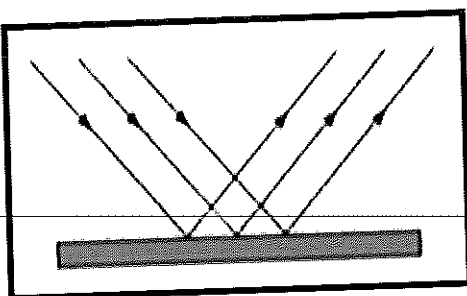


รูปที่ 2.2 รังสีตกกระทบ รังสีสะท้อน และเส้นแนวฉาก

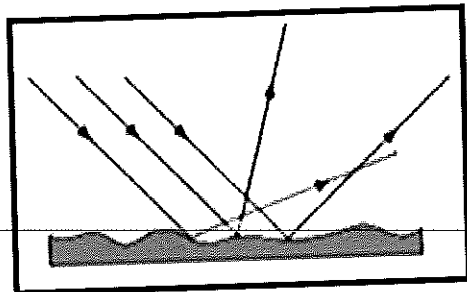
### กฎการสะท้อนของแสงมีดังนี้

1. รังสีตกกระทบ รังสีสะท้อน และเส้นแนวฉากอยู่บนระนาบเดียวกัน
2. มุมตกลงทำกับนูมสะท้อน

วัตถุที่สะท้อนแสงได้ดีจะต้องมีผิวเรียบและเป็นมัน เช่น กระจกจะทำให้เกิดการสะท้อนอย่างมีระเบียบ แต่ถ้าวัตถุที่มีผิวไม่เรียบ จะเกิดการสะท้อนไม่มีระเบียบ ดังรูปที่ 2.3 และรูปที่ 2.4



รูปที่ 2.3 การสะท้อนของแสงที่วัตถุ  
วัตถุผิวนิ่มและเป็นมัน



รูปที่ 2.4 การสะท้อนของแสงที่  
ผิวนิ่มและเป็นมัน

## 2.3 อุปกรณ์ตรวจวัดรังสีอินฟราเรด

การตรวจวัดปริมาณรังสีอินฟราเรด มีด้วยกัน 2 วิธี คือการตรวจวัดความร้อน อุปกรณ์ที่ใช้คือ อุปกรณ์ตรวจวัดแสง เป็นอุปกรณ์ตรวจวัดชนิดความต้ม (Quantum Detector) และตรวจวัดความร้อน (Thermal Detector)

### 2.3.1 อุปกรณ์ตรวจวัดชนิดความต้ม (Quantum Detector)

ลักษณะอุปกรณ์ตรวจวัดชนิดความต้มมีความสามารถตรวจวัดสูง และสามารถรีวิวในการตอบสนองดี แม้เมื่อเสียคือความสามารถในการตรวจวัดเปลี่ยนแปลงตามความยาวคลื่นแสง ความสามารถในการทนอุณหภูมิต่ำ ดังนั้นในการใช้งานโดยทั่วไปจะต้องมีระบบทำความเย็นให้กับอุปกรณ์ตรวจวัด มีการตอบสนองต่อแสงที่มีความยาวคลื่นสั้นและความสามารถในการทนกำลังแสงต่ำ (Damage Threshold) ตัวอย่างอุปกรณ์ชนิดความต้ม

- ไฟโตไดโอด (Photodiode) ในการเลือกใช้อุปกรณ์ชนิดนี้ควรคำนึงถึงวัสดุที่เป็นส่วนประกอบสำคัญ เนื่องจากวัสดุที่ใช้ทำจะมีคุณสมบัติในการตอบสนองความยาวคลื่นที่แตกต่างกัน เช่น ซิลิกอน จะตอบสนองได้ดีในช่วงความยาวคลื่นที่ต่ำกว่า 1100 นาโนเมตร เป็นต้น

- ไฟโตค่อนดักทิฟ (Photoconductive) และไฟโตโวลาติก (Photovoltaic) เป็นอุปกรณ์ตรวจวัดความต้มอีกชนิดหนึ่ง ซึ่งสามารถวัดแสงในช่วงความยาวคลื่นที่สูงกว่า แบบไฟโตไดโอด ข้อเสียคือ ความสามารถในการทนต่อกำลังแสงต่ำ (Damage Threshold) จึงไม่เหมาะสมนำมาใช้งานในกรณีที่ต้องทนกำลังแสงสูงๆ เป็นต้น

## 2.4 เครื่องวัดรังสีอินฟราเรด (IR Detectors)

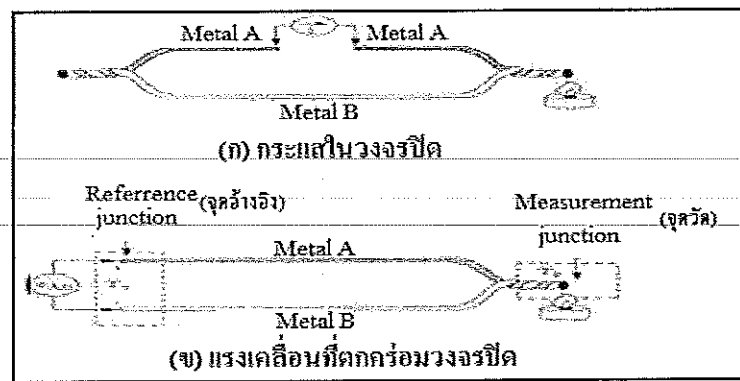
เครื่องวัดรังสีอินฟราเรดที่ใช้กันอยู่แบ่งได้เป็น 2 พวก คือ

1. อาศัยหลักการทาง Photoconductive Effect และใช้สารกึ่งตัวนำ (Semiconductor) และตรวจวัดปริมาณ โฟตอน (Photon Detector)
2. อาศัยหลักการ Heating Effect รังสีอินฟราเรดถูกดูดกลืนจะเกิดความร้อนขึ้น แล้วทำให้ความด้านทันของเส้นลวดในเครื่องวัดเปลี่ยนแปลง เรียกว่า เครื่องตรวจจับความร้อน (Thermal Detector)

### 2.4.1 ชนิดของเครื่องตรวจจับอินฟราเรด (IR Detector)

2.4.1.1 ตรวจวัดชนิดความร้อน (Thermal Detector) อาศัยสมบัติที่เกิดการเปลี่ยนแปลงทางความร้อนของสารเมื่อได้รับแสงอินฟราเรด ได้ถูกนำมาใช้สำหรับทำเครื่องตรวจจับเพื่อวัดรังสีอินฟราเรด ซึ่งจำแนกได้เป็น 4 แบบ ดังนี้

1. เทอร์โมคัปปิล (Thermocouple) ดีแทคเตอร์ชนิดนี้นิยมใช้กันมาก สำหรับวัดรังสีอินฟราเรดประกอบด้วยแผ่นทองสีดำซึ่งมีความเข้มข้นกับลวดโลหะเล็กๆ 2 ชนิดที่ต่างกัน หรือเป็นลวดแพลทินัม (Pt) เซี่ยมกับลวดเงิน เมื่อทำให้ปลายที่เชื่อมทั้งสองมีอุณหภูมิต่างกัน จะมีแรงคลื่อนไฟฟ้าเกิดขึ้นซึ่งจะแปรผันตามอุณหภูมิ โดยที่ปลายด้านหนึ่ง (Reference Junction) จะป้องกันไม่ให้ถูกแสงโดยและให้อุณหภูมิคงที่ อีกปลายหนึ่งให้บรรจุรังสีอินฟราเรดเทอร์โมคัปปิล หลายอันต่อ กันแบบอนุกรมเพื่อให้ได้แรงคลื่อนไฟฟ้ามากขึ้น ดังรูปที่ 2.5



รูปที่ 2.5 แสดงผลของซีบีค

ที่มา (Thermocouple And RTD, 2012)

2. นาโลมิเตอร์ (Bolometer Thermister) การทำงานอาศัยการวัด การเปลี่ยนแปลงค่าความต้านทานของลวดโลหะ เมื่ออุณหภูมิเปลี่ยนทำจากแผ่นโลหะ เช่น แพลทินัม (Pt) หรือนิกเกต (Ni) หรือสารกึ่งตัวนำ (Semiconductor) มีขนาดเล็กและมักทาสีดำ เพื่อเก็บความร้อนมีราคาถูก

3. ไฟโรอิเล็กทริกดีเทกเตอร์ (Pyroelectric Detector) ทำงานหลักของสารบางชนิด เช่น Triglycine Sulphate, TGS หรือลิทيومแทนทาเลต หรือดิวเทอเรตไตรไกลซิน ชัลเฟต (DTGS) เป็นต้น ผลึกเหล่านี้มีสมบัติเกี่ยวกับโมเมนต์ข้าวคู่ของมันไวต่อการเปลี่ยนแปลง อุณหภูมิ ถ้านำผลึกเหล่านี้ไปไว้ในระหว่างขั้วไฟฟ้า (Electrode) ที่เป็นแผ่นโลหะ แล้วต่อเข้ากับวงจรไฟฟ้าภายนอก เป็นเหตุให้มีกระแสไฟ流ในวงจรเพื่อทำให้การกระจายของประจุคลั่งเข้าสู่ สมดุลใหม่ ค่ากระแสที่เกิดขึ้นจะขึ้นอยู่กับการเปลี่ยนแปลงอุณหภูมิ

4. นิวเมติกดีเทกเตอร์ (Golay, Pneumatic Detector) เมื่ออุณหภูมิเปลี่ยนแปลงมีผลทำให้ ความดันของแก๊สเหลือยก่อนเปลี่ยนแปลงด้วยแก๊สเหลือยก่อนบรรจุไว้ในภาชนะรูปทรงกระบอกเล็กๆ ด้านที่รับ IR เป็นโลหะศีร์ด้าอยู่กับที่ ด้านตรงข้ามเป็นไดอะแฟรมที่เคลื่อนที่ได้ เมื่อโลหะดำเนินรับรังสี IR ความร้อนจะถูกถ่ายเทไปที่แก๊สเหลือยกันทำให้เกิดความดันขึ้นไปดันแก๊สไดอะแฟรม ทำให้เกิดการบีบเบี้ยนและทำให้แรงสะท้อนไปที่หลอดวัดแสงเกิดกระแสไฟฟ้า ขึ้นตามปริมาณของแสง IR ที่ตัดกระบวนการ

#### 2.4.1.2 เครื่องตรวจจับโฟตอน (Photon Detector)

ประกอบด้วยแผ่นแก้วที่เป็นผนวนที่ทนนานๆ ด้วยสารกึ่งตัวนำ เช่น Lead Sulfide ตะกั่วเหลวโลหะ (Ge) ที่เจือปนด้วยทองแดงหรือproto เป็นต้น ส่วนประกอบทั้งหมดจะบรรจุอยู่ในกล่องสูญญากาศ เมื่อมีแสงตกกระทบและแสงมีพลังงานสูงพอดำรงให้ความต้านทานของสารกึ่งตัวนำลดลง ความไวในการตอบสนองของตัวตรวจจับเร็ว (ชัตตันที่ กัณหวงศ์, 2549)

### 2.5 ผลของแรงคืออินไฟฟ้าจากความร้อน (Termoelectric Effect)

ทฤษฎีพื้นฐานของผลจากเทอร์โนอิเล็กทริก เกิดจากการส่งผ่านทางไฟฟ้าและทางความร้อนของโลหะที่ต่างกันจึงทำให้เกิดความต่างศักย์ทางไฟฟ้าต่ำร่องที่โลหะนั้น ความต่างศักย์นี้จะสัมพันธ์กับความจริงที่ว่า อิเล็กตรอนในปลายด้านร้อนของโลหะจะมีพลังงานความร้อนมากกว่าปลายทางด้านเย็น จึงทำให้อิเล็กตรอนมีความเร็วไปทางด้านเย็น ที่อุณหภูมิเดียวกัน

นี้การเคลื่อนที่ของอิเล็กตรอนจะแบล็คเปลี่ยนไปตามโลหะที่ต่างชนิดกันด้วย ที่เป็นเช่นนี้ก็ เพราะว่า โลหะที่ต่างกันจะมีการนำความร้อนที่ต่างกันนั่นเอง

### 2.5.1 ผลของซีเบ็ค (Seebeck Effect) โดยใช้ทฤษฎีไซลิคส์เตด เรากำนัลวิเคราะห์ค่าได้จากสมการอินทิเกรตค่าจากย่านของอุณหภูมิดังกล่าววนนี้คือ

$$\mathcal{E} = \int_{T_1}^{T_2} (Q_A - Q_B) dT \quad ..... (1)$$

จากสมการที่ (1) พบว่า ค่าแรงเคลื่อนไฟฟ้า (emf) ที่เกิดขึ้นเป็นสัดส่วนกับความแตกต่างของอุณหภูมิ จึงเกิดความแตกต่างของค่าคงที่ในการส่งผ่านความร้อนของโลหะ ถ้าใช้โลหะชนิดเดียวกันสร้างเทอร์โมคัปเปลี่ยนค่าแรงเคลื่อนไฟฟ้าที่ได้จะมีค่าเป็นศูนย์และถ้าอุณหภูมิทั้งสองจุดคือจุดวัดและจุดอ้างอิงเหมือนกันค่าแรงเคลื่อนไฟฟ้าก็จะเป็นศูนย์ สมการนี้จะอธิบายผลของซีเบ็ค ซึ่งพบว่า

- ค่า emf ที่เกิดจะเป็นสัดส่วนกับความแตกต่างของอุณหภูมิ จึงเกิดความแตกต่างของค่าคงที่ในการส่งผ่านความร้อนของโลหะ
- ถ้าใช้โลหะชนิดเดียวกันมาทำเทอร์โมคัปเปลี่ยนค่า emf ที่ได้ก็จะมีค่าเป็นศูนย์
- ถ้าอุณหภูมิทั้งสองจุดคือจุดวัดและจุดอ้างอิงเหมือนกันค่า emf ก็จะเป็นศูนย์โดยสูตรที่ง่ายและสามารถคำนวณได้ชั้นกันคือ

$$\mathcal{E} = \alpha(T_2 - T_1) \quad ..... (2)$$

เมื่อ  $\mathcal{E}$  คือ ค่าแรงเคลื่อนไฟฟ้า (emf)

$\alpha$  คือ ค่าคงที่หรือเรียกว่าสัมประสิทธิ์ของซีเบ็ค (Volt/K)

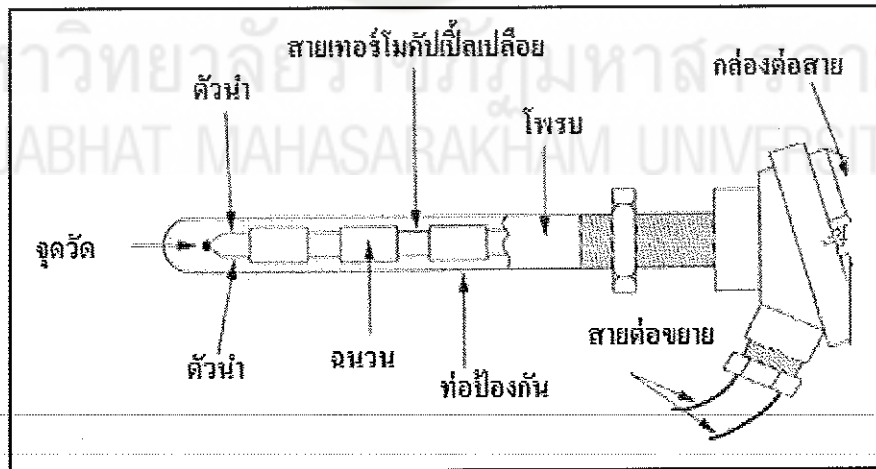
$T_1, T_2$  คือ อุณหภูมิที่จุดต่อ (K)

### 2.5.2 ผลของเพลทีเยอร์ (Peltier Effects) หากคิดย้อนกลับจากผลของซีเบ็ค นั่นคือใช้โลหะที่แตกต่างกันสองชนิดมาเชื่อมต่อทั้งสองเข้าด้วยกันแล้วจ่ายพลังงานจากภายนอกเข้าไป ก็จะเป็นเหตุให้เกิดกระแสไฟฟ้าในวงจร เพราะจากคุณสมบัติในการส่งไฟฟ้าและความร้อนของโลหะ พบว่าขั้วหนึ่งจะเกิดความร้อน ( $T_2$ ) และอีกขั้วหนึ่งจะเกิดความเย็น ( $T_1$ ) ขึ้น โดยผลดังกล่าวเรียกว่า “ผลของเพลทีเยอร์” (Peltier Effect) และถูกนำไปใช้งานพิเศษสำหรับการทำความเย็นกับส่วนของระบบอิเล็กทรอนิกส์ หรือแม้กระทั่งเครื่องทำความเย็นขนาดเล็ก

### 2.5.3 คุณสมบัติของเทอร์โมคัปเปลี่ยนแบบมาตรฐาน (Characteristic of Standard Thermocouples)

1. ความไว (Sensitivity) จากตารางแรงเรเกลี่ยนของ NBS แสดงว่า ย่านของแรง เคลื่อนจากเทอร์โมคัปเปลี่ยนจะมีค่าห้องกว่า 100 มิลลิโวลต์ ( $mV$ ) แต่ความไวที่แท้จริงในการใช้งาน จะขึ้นอยู่กับการใช้วงจรปรับสภาพสัญญาณและตัวเทอร์โมคัปเปลี่ยนเอง

2. โครงสร้าง (Construction) โครงสร้างของเทอร์โมคัปเปลี่ยนลักษณะดังรูป โดย ต้องมีลักษณะดังนี้คือ: มีความต้านทานต่ำ ให้สัมประสิทธิ์อุณหภูมิสูง ต้านทานต่อการเกิด ออกราคาต์ที่อุณหภูมิสูงๆ ทนต่อสภาวะแวดล้อมที่นำไปใช้ด้วย และเป็นเชิงเส้นสูงที่สุดเท่าที่จะ เป็นไปได้ ตัวฝึกหรือห่อป้องกันส่วนมากจะทำการแสดงผลแล้ว ความไวของเทอร์โมคัปเปลี่ยนนี้ อยู่กับความหนาของห่อป้องกันทั้งเยื่อรัมเนียมและซิลิคอนจะทำให้คุณสมบัติการเกิด เทอร์โมอิเล็กทริกจึงใช้กันมากในอุปกรณ์ทำความเย็น (Peltier Element) มากกว่าที่จะใช้เป็น เทอร์โมคัปเปลี่ยนอุณหภูมิขนาดของสายเทอร์โมคัปเปลี่ยนกำหนดโดยการใช้งานแต่ละอย่าง และ มีขนาดจาก 10 ในสภาวะแวดล้อมที่ไม่คงที่จนถึงขนาด 30 หรือแม้กระทั่ง 0.02 มิลลิเมตร ( $mm$ ) ซึ่งเป็นสายแบบไมโครไวน์ (Microwire) ที่ใช้กับการวัดอุณหภูมิการกลั่นในงานทางชีววิทยา ดังรูปที่ 2.6



รูปที่ 2.6 แสดงโครงสร้างของเทอร์โมคัปเปลี่ยน  
ที่มา (Thermocouple And RTD, 2012)

3. ย่านการใช้งาน (Range) ย่านอุณหภูมิการใช้งานและความไวในการวัดของเทอร์โมคัปเปิลแต่ละตัวจะแตกต่างกันตามแต่ละสมาคมจะกำหนดในส่วนที่สำคัญคือค่าแรงเกลื่อนที่ออกมากจากแต่ละอุณหภูมิ จะต้องอ้างอิงกับตารางค่ามาตรฐานของแต่ละสมาคมที่ใช้ให้ถูกต้องเป็นเอกสารเดียวกันหมดทั้งระบบ

4. เวลาตอบสนอง (Time Response) เวลาตอบสนองของเทอร์โมคัปเปิลขึ้นอยู่กับขนาดของสายและวัสดุที่นำมาทำท่อป้องกันตัวเทอร์โมคัปเปิล

5. การปรับสภาพสัญญาณ (Signal Conditioning) โดยปกติแรงเกลื่อนของเทอร์โมคัปเปิลจะมีขนาดน้อยมากจึงจำเป็นต้องมีการขยายสัญญาณโดยใช้ออปปอมป์ขยายความแตกต่างที่มีอัตราขยายสูงๆ

#### 2.5.4 การใช้งานเทอร์โมคัปเปิลมาตรฐาน (Characteristic in Application of Thermocouple Standard Types)

ในปัจจุบัน พบว่ามีเทอร์โมคัปเปิลมาตรฐานอยู่ 7 ชนิดตามมาตรฐานของ American National Standards Institute (ANSI) และ American Society for Testing and Materials (ASTM) โดยการจำแนกตามประเภทของวัสดุที่ใช้ทำได้แก่ เทอร์โมคัปเปิลแบบ S R B J K T E ในการทำงานวิจัยนี้ เป็นเทอร์โมคัปเปิลที่มีคุณลักษณะแบบเดียวกับเทอร์โมคัปเปิลแบบ K เป็นชนิดที่เลือกใช้ในการวิจัยนี้ หากแต่อาจมีความแตกต่างกันระหว่างสองแบบ โดยในแบบเดิมใช้ธาตุหนึ่งเป็นฐานสำหรับการสร้างคือ尼克เกลิ เทอร์โมคัปเปิลชนิดนี้ผลิตให้เป็นมาตรฐานตั้งแต่ปี ก.ศ. 1916 โดยพื้นฐานการผลิต ขั้วหนึ่งจะเป็นnickelที่เจือปนด้วยอะลูมิเนียมส่วนอีกข้างที่เจือปนด้วยโครเมียม เพราะว่าในปี ก.ศ. 1916 ยังไม่สามารถสร้างnickelบริสุทธิ์ได้จึงได้เติมสารไม่บริสุทธิ์ต่างๆ ในส่วนผสมของวัสดุชนิด K แต่ในปัจจุบันได้มีการระมัดระวังส่วนผสมที่จะทำให้เกิดความไม่บริสุทธิ์ดังกล่าวเพื่อเหตุผลในการบำรุงรักษาและซ่อมที่ยั่งยืน

ด้วยเหตุนี้เทอร์โมคัปเปิลชนิด K ที่กำหนดเป็นค่ามาตรฐานจะไม่ใช้โลหะผสมแต่โดยทั่วไปจะผสมธาตุพิเศษเข้าไปเพื่อปรับปรุงคุณภาพของแรงค่าลี่อนต่ออุณหภูมิของจุดหลอมละลายที่กำหนดไว้

ข้อควรระวังในการใช้งานของชนิด K มีดังนี้

1. ขั้วตนของเทอร์โมคัปเปิลจะเป็นวัสดุเฟอร์โรแมกนติก (เหล็กที่เป็นสารแม่เหล็ก) ที่อุณหภูมิห้อง แต่ที่จุดคิวเรของมัน (Curie Point) คืออุณหภูมิที่มันเปลี่ยนจากคุณสมบัติเหล็กไปเป็นแม่เหล็ก) อุณหภูมิที่ใช้งานพอดี ทำให้เกิดการเปลี่ยนแปลงแรงค่าลี่อนทางເວັດພຸດ อย่างทันทีทันใด ยิ่งไปกว่านั้นพบว่าจุดคิวเรดังกล่าวจะขึ้นอยู่กับความเข้มข้นของโลหะผสม

อุตสาหกรรมที่เปลี่ยนคุณสมบัติจากเทอร์โมคัปเปิลตัวหนึ่งให้เป็นเทอร์โมคัปเปิลอีกด้วยตัวหนึ่ง ดังนี้นั่นจึงต้องทดลองทำการเปลี่ยนแปลงแรงเครื่องที่ไม่ทราบค่า ณ อุณหภูมิที่เราไม่ทราบค่านี้

2. ที่อุณหภูมิสูง ๆ ( $ช่วง 200^{\circ}\text{C} \text{ ถึง } 600^{\circ}\text{C}$ ) เทอร์โมคัปเปิลชนิด K จะมีผลของไฮสเตรอร์ซีสเกิดขึ้นขณะที่มันอ่านค่าเมื่ออุณหภูมิเพิ่มขึ้นและในช่วงที่อุณหภูมิกดลง ซึ่งเป็นช่วงที่ไม่สามารถจะคาดเดาการเปลี่ยนแปลงแรงเครื่องได้

3. ที่อุณหภูมิ  $1000^{\circ}\text{C}$  ขึ้นของเทอร์โมคัปเปิลชนิด K จะเกิดออกไซด์ เป็นเหตุให้มีการเปลี่ยนแปลงแรงเครื่อง

4. การใช้โคลอต์เป็นโลหะผสมสำหรับเทอร์โมคัปเปิลชนิด K จะทำให้เกิดปฏิกิริยาในอุตสาหกรรมนิวเคลียร์ หรือในพื้นที่อื่น ๆ ที่มีฟลักซ์นิวตรอนสูง ๆ ชาตุบางตัวจะรับเอาการปลดปล่อยนิวเคลียร์ จึงทำให้เปลี่ยนแปลงแรงเครื่องทางด้านอาต์มุต

ข่ายการทำงานและความแน่นอนของเทอร์โมคัปเปิลในงานอุตสาหกรรม ที่กำหนดโดยมาตรฐาน IEC 584 (รหัสสำหรับการวัดอุณหภูมิโดยใช้เทอร์โมคัปเปิล) ช่วงการวัดอุณหภูมิต่อเนื่องของเทอร์โมคัปเปิลแบบนี้จะเป็น  $-270^{\circ}\text{C} \text{ ถึง } +1,370^{\circ}\text{C}$

โดยมีระดับความแน่นอนซึ่งกำหนดโดยมาตรฐาน IEC 58 (ตารางอ้างอิงสำหรับเทอร์โมคัปเปิลนานาชาติ เป็นดังนี้

1. Class  $-40^{\circ}\text{C} \text{ ถึง } +1,000^{\circ}\text{C} \quad \pm 0.004 \times t \quad \text{หรือ } \pm 1.50^{\circ}\text{C}$
2. Class  $-40^{\circ}\text{C} \text{ ถึง } +1,200^{\circ}\text{C} \quad \pm 0.0075 \times t \quad \text{หรือ } \pm 2.5^{\circ}\text{C}$
3. Class  $-200^{\circ}\text{C} \text{ ถึง } +40^{\circ}\text{C} \quad \pm 0.015 \times t \quad \text{หรือ } \pm 2.5^{\circ}\text{C} \text{ เมื่อ } t \text{ คือ }$

อุณหภูมิจริงที่ทำการวัด

รหัสสีสำหรับสายเทอร์โมคัปเปิลกำหนดโดยมาตรฐาน BS 4937 part 30 ,1993 (รหัสสีตามมาตรฐานอังกฤษสำหรับสายชดเชยแบบอุ่นของเทอร์โมคัปเปิล) สำหรับชนิด K ข่ายวงจะเป็นสีเขียว ข้าวคละเป็นสีขาว

#### ข้อดีของแบบ K

1. เป็นแบบที่นิยมใช้แพร่หลายมากที่สุด
2. สำหรับการวัดอุณหภูมิช่วงตื้น ๆ จะวัดได้จาก  $-180^{\circ}\text{C}$  ถึงประมาณ  $1,350^{\circ}\text{C}$
3. สามารถใช้วัดในงานที่มีปฏิกิริยาออกซิไดซิง หรือสภาพแวดล้อม惰性 (Inert) ได้ดีกว่าแบบอื่น
4. สามารถใช้กับสภาพงานที่มีการแห้งสีความร้อนได้ดี

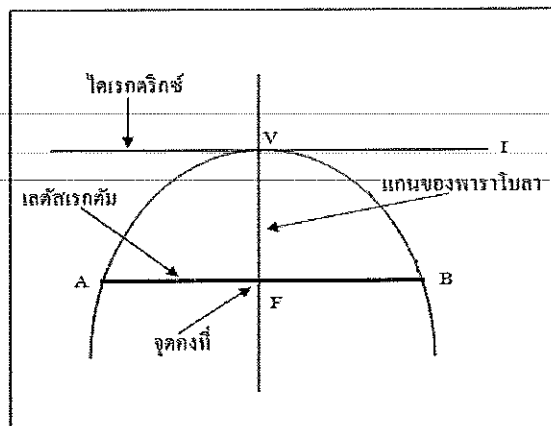
5. ให้อัตราการเปลี่ยนแรงเคลื่อนไฟฟ้าต่ออุณหภูมิคงที่กว่าแบบอื่น ๆ (ความชันเกือบเป็น 1) และมีความเป็นเชิงเส้นมากที่สุดในบรรดาท่อร์โนดับเบิลด้วยกัน

### ข้อเดียวของแบบ K

1. ไม่เหมาะสมกับการวัดที่ต้องสัมผัสกับปฏิกิริยาหรือวิธีและออกซิไดซิง โดยตรง
2. ไม่เหมาะสมกับงานที่มีไข่ของชัลเพอร์
3. ไม่เหมาะสมกับสภาพงานที่เป็นสัญญากาศ (ยกเว้นจะใช้ในช่วงเวลาสั้นๆ)
4. หลังการใช้งานไป 30 ปี ทำให้ส่วนผสมทางเคมีเปลี่ยนไป เป็นผลทำให้คุณสมบัติของแรงเคลื่อนไฟฟ้าเปลี่ยนไป

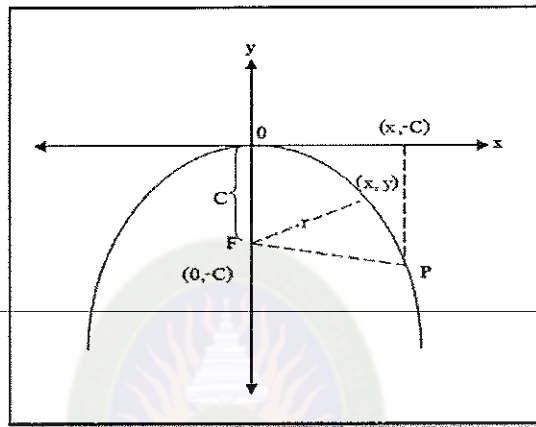
## 2.6 การหาระยะห่างระหว่างจุดสองจุดบนคอมสະหັອນຮູບພາຣາໂບລາ

พาราโบลา (Parabola) คือ เขตของจุดทุกจุดบนระนาบ ซึ่งอยู่ห่างจากเส้นตรงที่เส้นหนึ่งบนระนาบและจุดคงที่จุดหนึ่งบนระนาบนอกเส้นตรงคงที่นั้น เป็นระยะทางเท่ากับเสมอ พาราโบลาสามารถกำหนดเป็นด้วยจุดต่าง ๆ ที่มีระยะห่างจากจุดที่กำหนด คือจุดโฟกัส (Focus) เส้นที่กำหนด คือเส้นไดเรกตริกซ์ (Directrix) แกนของพาราโบลาคือ เส้นตรงที่ลากผ่านโฟกัส และตั้งฉากกับไดเรกตริกซ์ จุดยอด (V) คือจุดยอดที่พาราโบลาตัดกับแกนของพาราโบลา เลต์สเรกตัม (AB) คือส่วนของเส้นตรงที่ผ่านโฟกัสและมีจุดปลายหันสองอยู่บนพาราโบลา และตั้งฉากกับแกนของพาราโบลา เส้นตรงที่ผ่านจุดโฟกัสและตั้งฉากกับไดเรกตริกซ์ เรียกว่า แกนของพาราโบลา ดังรูปที่ 2.7



รูปที่ 2.7 ส่วนประกอบของพาราโบลา

พิจารณาสมการของพาราโบลาที่มีจุดยอด ออยู่ที่  $(0,0)$  แกนของพาราโบลา คือแกน  $x$   
หรือ แกน  $y$  ไดเรกตริกซ์ คือ เส้นตรง  $y = -c$  กราฟของพาราโบลาจะกว้าง ดังรูปที่ 2.8  
มีสมการ  $x^2 = 4cy$



รูปที่ 2.8 รูปแบบและลักษณะของพาราโบลาที่มีจุดยอดอยู่  $(0,0)$

สมมุติให้  $P(x,y)$  เป็นจุดบนพาราโบลา  
จากนิยาม

$$\sqrt{(x-0)^2 + (y-c)^2} = |y - (-c)|$$

$$x^2 + y^2 - 2cy + c^2 = y^2 + 2cy + c^2$$

$$x^2 = 4cy \quad ; \text{ เมื่อ } c > 0 \quad \dots\dots (3)$$

จากรูปที่ 2.7 เราสามารถหาค่า  $r$  ซึ่งมีระยะห่างจากจุด  $P(x,y)$  เป็นจุด  
บนพาราโบลา ได้ดังนี้

จากทฤษฎีบทพีทาโกรัส จะได้ว่า

$$r = \sqrt{x^2 + (-c - y)^2}$$

นั่นคือ ถ้า  $F(0, -c)$  และ  $(x, y)$  เป็นจุดในระบบพิกัด笛卡尔ແລ້ວ ระยะห่างระหว่างจุดสอง

จุดจะเป็นໄປตามสมการ

$$r^2 = x^2 + (-c-y)^2 \quad \dots\dots (4)$$

## 2.7 การถ่ายเทความร้อน (Heat Transfer)

ความร้อนเคลื่อนที่จากจุด ๆ หนึ่งไปยังจุดอีกจุดหนึ่งได้ 3 วิธีด้วยกันคือ การนำ (Conduction) การพา (Convection) และการแผรังสี (Radiation) การเคลื่อนที่ของความร้อน ทั้งสามวิธีนี้ จะเกิดขึ้นได้ต่อเมื่อมีความแตกต่างของอุณหภูมิเกิดขึ้น แต่กลไกที่จะทำให้เกิด การเคลื่อนที่ของความร้อนแต่ละวิธีที่แตกต่างกัน (นักสิทธิ์ คุ้วฒนาชัย, 2533:2) ดังนี้

### 2.7.1 การนำ (Conduction)

การนำความร้อน หมายถึง การส่งถ่ายพลังงานความร้อนที่เกิดขึ้นในตัวกลาง อัตราการถ่ายเทความร้อนผ่านตัวกลางจากด้านที่มีอุณหภูมิสูงไปสู่ด้านที่มีอุณหภูมิต่ำ โดยส่งถ่ายความร้อนจากโมเลกุลหนึ่งสู่อีกโมเลกุลอย่างต่อเนื่อง การนำความร้อนสามารถเกิดขึ้นได้ใน ตัวกลางที่เป็นของแข็ง ของเหลว และแก๊ส อัตราการถ่ายเทความร้อนผ่านตัวกลางแบบการนำ ความร้อนคำนวณจาก กฎของฟูเรียร์ (Fourier's Law)

กฎของฟูเรียร์ กล่าวว่า สำหรับการนำความร้อนผ่านตัวกลางในทิศทางใดทิศทาง หนึ่ง อัตราการถ่ายเทความร้อน  $\dot{Q}_x$  ผ่านตัวกลางในทิศทางนั้นเป็นปฏิภาคโดยตรงกับพื้นที่ถ่ายเท ความร้อนที่ตั้งฉากกับทิศทางการไหลของความร้อน ( $A$ ) และการเปลี่ยนแปลงอุณหภูมิของ ตัวกลางในทิศทางดังกล่าว ( $dT/dx$ )

สำหรับการนำความร้อนในทิศทาง  $x$  ภายใต้สภาพคงตัว (Steady State) อุณหภูมิ ในตัวกลาง  $T=T(x)$

จากกฎของฟูเรียร์

$$\dot{Q}_x = -kA \left( \frac{dT}{dx} \right) \quad \text{หน่วยเป็น W} \quad \dots\dots (5)$$

โดยที่  $k$  คือค่าคงที่สัดส่วน ซึ่งเรียกว่า สภาพคงที่นำความร้อน (Thermal Conductivity) ของตัวกลางมีหน่วยเป็น  $\text{W/m}^2 \cdot \text{K}$

### 2.7.2 การพา (Convection)

การพาความร้อน หมายถึง การถ่ายเทความร้อนระหว่างผิวของแข็งกับของไหล ผลการเคลื่อนไหวทำให้เกิดการถ่ายเทโน้มนตัม ซึ่งมีผลต่อสัมประสิทธิ์การพาความร้อนที่ผิวของแข็งแข็งนี้ ( $h$ ,  $\text{W/m}^2 \cdot \text{K}$ ) พลังงานความร้อนถูกถ่ายเทเป็นพลมาจาก การแพร่ (Diffusion) ของไมเดกุลและพลจาก การเคลื่อนไหวทั้งปริมาตรของไหล

การพาความร้อน จำแนกออกเป็น 2 ประเภท คือ

1. การพาความร้อนตามธรรมชาติ (Natural Convection) กล่าวถึงผลของการเคลื่อนไหวของไหลเป็นผลของการถอยตัว ซึ่งเกิดจากการเปลี่ยนแปลงความหนาแน่นมีผลต่างของของไหล 2 บริเวณ

2. การพาความร้อนโดยบังคับ (Forced Convection) การเคลื่อนไหวของไหลเป็นผลมาจากการกระทำภายนอก เช่น เครื่องดูบ เครื่องเป่าลม (Blower) ฯลฯ

พิจารณาการพาความร้อนจากผิวของแข็งพื้นที่  $A$  อุณหภูมิที่ผิว  $T_h$  ของไหลไหลผ่านด้วยความเร็ว และอุณหภูมิ  $T_c$  คงที่ โดยสมการสำหรับการถ่ายเทความร้อนโดยการพา เป็นไปตามกฎการเย็นตัวของนิวตัน (Newton's Law Cooling )

$$\dot{Q}_{\text{conv}} = hA(T_h - T_c) \quad \text{หน่วยเป็น W} \quad \dots\dots (6)$$

โดย  $h$  คือ สัมประสิทธิ์การพาความร้อนเฉพาะที่  $\text{W/m}^2 \cdot \text{K}$

### 2.7.3 การแผรังสี (Radiation)

การแผรังสีความร้อน หมายถึง การถ่ายเทความร้อนจากผิวตัวกลางหนึ่งไปสู่อีกตัวกลางหนึ่ง ซึ่งมีอุณหภูมิแตกต่างกัน พลังงานของการแผรังสีถูกส่งถ่ายในรูปของคลื่นแม่เหล็กไฟฟ้า (Electromagnetic Wave) หรือในรูปของโฟตอน โดยไม่ต้องอาศัยตัวถ่ายผ่าน ตัวกลาง การแผรังสีความร้อนจึงสามารถเกิดในสัญญาการได้ โดยสมการการถ่ายเทความร้อนโดยการแผรังสีจากวัตถุพื้นที่  $A$  และอุณหภูมิ  $T$  จากกฎของสเตฟาน-โบลต์ซมันน์ (Stefan-Boltzmann) ดังนี้

$$\dot{Q} = \sigma AT^4 \quad \text{หน่วยเป็น W} \quad \dots\dots (7)$$

โดยที่  $T$  คือ อุณหภูมิแผ่นดินที่ในหน่วยองศาซัมบอร์ด (K)

$\sigma$  คือ ค่าคงที่ของสเตฟาน-โบลต์ซมันน์ และมีค่าเท่ากับ  $5.67 \times 10^{-8}$

$$\text{W/m}^2 \cdot \text{K}^4$$

สมการที่ (7) ใช้กับกรณีการแผ่รังสีในอุดมคติ (Ideal Radiator) หรือวัตถุดำ (Black Body) สำหรับกรณีของพื้นผิวจริง (Real Surface) วัตถุที่มีอยู่ทั่วๆ ไปจะแผ่รังสีจะน้อยกว่ากรณีของวัตถุดำทั้งนี้จะขึ้นอยู่กับสภาพเปล่งรังสี (Emissivity,  $\epsilon$ ) ของผิวนั้นด้วย (นักศิษย์ จุฬาลงกรณ์มหาวิทยาลัย 2533) จะคำนวณจาก

$$\dot{Q} = \epsilon \sigma AT^4 \quad \text{หน่วยเป็น W} \quad \dots\dots (8)$$

พิจารณาการแลกเปลี่ยนรังสีกันระหว่างพื้นผิว A อุณหภูมิ  $T_h$  มีสภาพเปล่งรังสี  $\epsilon$  กับสิ่งแวดล้อม โดยรอบซึ่งมีอุณหภูมิกองที่  $T_c$  อัตราการแผ่รังสีบนพื้นผิวสูทที่บินพื้นผิว A คือ

$$\dot{Q}_{\text{rad,net}} = \epsilon \sigma A (T_h^4 - T_c^4) \quad \text{หน่วยเป็น W} \quad \dots\dots (9)$$

นอกจากนี้แบบสมการที่ (9) แล้วรูปแบบสมการอย่างง่ายสำหรับคำนวณการแผ่รังสี เอียงใหม่ได้ดังนี้

$$\begin{aligned} \dot{Q}_{\text{rad,net}} &= \epsilon \sigma A (T_h - T_c) (T_h + T_c) (T_h^2 + T_c^2) \\ &= h_r A (T_h - T_c) \quad \text{หน่วยเป็น W} \end{aligned} \quad \dots\dots (10)$$

โดยที่  $h_r$  คือ สัมประสิทธิ์การแผ่รังสีความร้อนมีหน่วยเป็น  $\text{W/m}^2 \cdot \text{K}$

เมื่อการถ่ายเทความร้อนเกิดจากการพาและการแผ่รังสีความร้อนพร้อมกับอัตรา การถ่ายเทความร้อนรวมทั้งได้ดังนี้

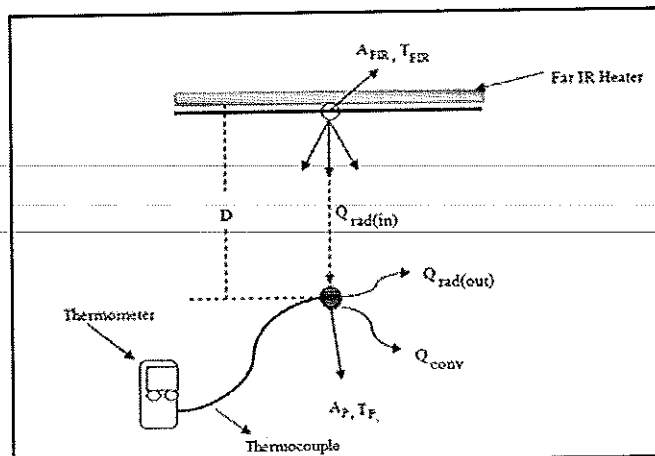
$$\begin{aligned} \dot{Q}_{\text{tot}} &= \dot{Q}_{\text{conv}} + \dot{Q}_{\text{rad,net}} \quad \text{หน่วยเป็น W} \\ &= h(T_h - T_c) + h_r (T_h - T_c) \\ &= (h + h_r)(T_h - T_c) \end{aligned}$$

$$\begin{aligned}
 &= (h + h_r)(T_h - T_c) \\
 &= h_{cr} (T_h - T_c)
 \end{aligned} \quad \dots\dots (11)$$

โดยที่  $h_{cr}$  คือ สัมประสิทธิ์การถ่ายเทความร้อนรวมของการพานและการแผ่รังสีความร้อน

สำหรับหลอดครังสีอินฟราเรดที่คณะผู้วิจัยใช้ในการทดลองจะมีลักษณะเป็นรูปทรงกระบอกยาว โดยออกแบบตัวตรวจวัดครังสีมีลักษณะเป็นแผ่นกลม ทำการแผ่นอะลูมิเนียมบาง(ตัดจากกระปองน้ำอัดลม) ในการทดลองคณะผู้วิจัยจะใช้แผ่นนวนความร้อนกันหลอดครังสีอินฟราเรดไกลโดยเจาะรูกลมที่แผ่นนวนเพื่อให้รังสีอินฟราเรดทะลุผ่านออกไป ดังนั้นรูที่รังสีอินฟราเรดทำลูผ่านจึงทำหน้าที่เสมือนเป็นแหล่งกำเนิดรังสีอินฟราเรดที่มีลักษณะเป็นแผ่นกลมพื้นที่เท่ากับขนาดของรู เมื่อรังสีอินฟราเรดตกกระทบตัวตรวจวัดครังสีซึ่งทำการแผ่นอะลูมิเนียมกลม 2 แผ่นประกอบกัน โดยมีหัวดัดเทอร์โนมีคปปีลอลูปภายใน จะเกิดการแลกเปลี่ยน الحرีอถายเทความร้อนระหว่างหลอดครังสีอินฟราเรดซึ่งมีพื้นที่เท่ากับขนาดของรูกับแผ่นอะลูมิเนียมกลม ดังรูปที่ 2.9 ดังนั้นถ้ากำหนดให้หลอดครังสีอินฟราเรด อุณหภูมิ  $T_{FIR}$  แผ่รังสีผ่านรูซึ่งมีพื้นที่  $A_{FIR}$  เป็นระยะ  $D$  ไปยังพื้นที่ผิวของหัวดัด  $A_p$  จะทำให้หัวดัดมีอุณหภูมิเพิ่มขึ้นจนถึงอุณหภูมิกที่  $T_p$  จะเกิดการแลกเปลี่ยนพลังงานระหว่างหลอดครังสีอินฟราเรดกับหัวดัดเป็นไปตามสมการที่ (12)

$$Q_{rad(in),net} = \frac{\sigma(T_{FIR}^4 - T_p^4)}{(1 - \epsilon_{FIR}/A_{FIR}\epsilon_{FIR}) + (1/A_p F_p \rightarrow FIR) + (1 - \epsilon_p/A_p\epsilon_p)} \quad \dots\dots (12)$$



รูปที่ 2.9 การแผ่รังสีแลกเปลี่ยนกันระหว่างพื้นผิวหนึ่งกับสิ่งแวดล้อม โดยรอบ

เมื่อแผ่นอลูมิเนียมกลมรับรังสีอินฟราเรดแล้วอุณหภูมิสูงขึ้น จะเกิดการถ่ายเทความร้อนกับสิ่งแวดล้อมด้วยการแผ่รังสี เป็นไปตามสมการ

$$\dot{Q}_{\text{rad}(\text{out}),\text{net}} = (2A_p)\varepsilon_p \sigma(T_p^4 - T_0^4) \quad \text{หน่วยเป็น W} \quad \dots\dots (13)$$

นอกจากนี้แผ่นอลูมิเนียมกลมยังเกิดการถ่ายเทความร้อนกับสิ่งแวดล้อมด้วยการพาความร้อน เป็นไปตามสมการ

$$\dot{Q}_{\text{conv}} = (2A_p)h(T_p - T_0) \quad \text{หน่วยเป็น W} \quad \dots\dots (14)$$

เนื่องจากการถ่ายเทความร้อนออกจากหัววัดเกิดขึ้นทั้งผิวด้านบนและด้านล่าง ดังนั้นใช้  $2A_p$  เป็นตัวคูณในสมการที่ (13) และ (14)

เมื่อแผ่นวัดรังสีมีอุณหภูมิไม่เปลี่ยนแปลง ถือว่าเกิดการสมดุลทางความร้อน ดังนั้น

$$\dot{Q}_{\text{rad}(\text{in}),\text{net}} = \dot{Q}_{\text{rad}(\text{out}),\text{net}} + \dot{Q}_{\text{conv}} \quad \text{หน่วยเป็น W} \quad \dots\dots (15)$$

เมื่อ  $\sigma$  คือ ค่าคงที่สเตฟาน-โบลต์ซมันน์  $5.67 \times 10^{-8} \text{ W/m}^2 \cdot \text{K}^4$

$\varepsilon_{\text{FIR}}$  คือ ค่า Emissivity of FIR (0.95)

$\varepsilon_p$  คือ ค่า Emissivity of Aluminum (0.07)

$h$  คือ สัมประสิทธิ์การพาความร้อน (Convection Heat Transfer Coefficient)

$A_p$  คือ พื้นที่ผิวของหัววัด (Surface Area of Object) ( $\text{m}^2$ )

$A_{\text{FIR}}$  คือ พื้นที่ช่องผ่านรังสีอินฟราเรด ( $\text{m}^2$ )

$T_p$  คือ อุณหภูมิของหัววัด (K)

$T_0$  คือ อุณหภูมิห้อง (K)

$T_{\text{FIR}}$  คือ อุณหภูมิหลอดรังสีอินฟราเรด (K)

$F_{P \rightarrow \text{FIR}}$  คือ ค่า View Factor จากแผ่นวงกลม P ไปยังหลอดรังสีอินฟราเรด ไกล

$\dot{Q}_{\text{rad(in),net}}$  คือ ค่าการถ่ายเทพลังงานสุทธิจากการแพร่รังสีระหว่างหลอดรังสีอินฟราเรดกับหัววัด (W)

$\dot{Q}_{\text{rad(out),net}}$  คือ ค่าการถ่ายเทพลังงานสุทธิจากการแพร่รังสีระหว่างหัววัดกับสิ่งแวดล้อม (W)

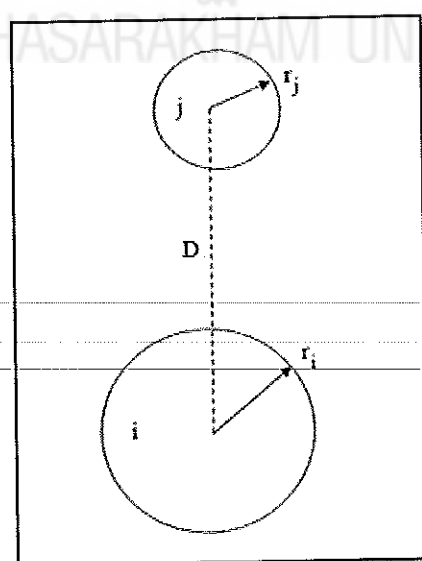
$\dot{Q}_{\text{conv}}$  คือ ค่าการถ่ายเทพลังงานจากการพารามิเตอร์ความร้อนระหว่างหัววัดกับอากาศแวดล้อม (W)

โดยที่  $F_{P \rightarrow FIR}$  คือ View Factor จากแผ่นกลมรัปรังสี P ไปยังหลอด FIR ซึ่งค่าของ View Factor ในกรณีนี้จะเป็นการแลกเปลี่ยนรังสีความร้อนระหว่างแผ่นกลม 2 แผ่นร่วมกัน (Two Coaxial Parallel Disks) (Yunus A. Cengel, 2004) ดังรูปที่ 2.10 ซึ่งสามารถหาได้ดังสมการ

$$F_{i \rightarrow j} = \frac{1}{2} \left\{ S - \left[ S^2 - 4 \left( \frac{r_j}{r_i} \right)^2 \right]^{1/2} \right\} \quad \dots\dots (16)$$

โดยที่  $R_i = \frac{r_i}{D}$  และ  $R_j = \frac{r_j}{D}$

และ  $S = 1 + \frac{1+R_j^2}{R_i^2}$



รูปที่ 2.10 การแลกเปลี่ยนรังสีความร้อนระหว่างพื้นผิว  
(Radiation Exchange Between Surfaces)

เมื่อแทนสมการ (12), (13) และ (14) ใน (15) จะได้

$$\frac{\sigma(T_{FIR}^4 - T_p^4)}{\left(\frac{\varepsilon_{FIR}}{A_{FIR}\varepsilon_{FIR}}\right) + \left(\frac{1}{A_p F_p \rightarrow FIR}\right) + \left(\frac{1-\varepsilon_p}{A_p \varepsilon_p}\right)} = 2A_p \varepsilon_p \sigma(T_p^4 - T_0^4) + (2A_p)h(T_p - T_0) \dots (17)$$

พิจารณาด้านซ้ายของสมการที่ (17)

$$\text{เมื่อ } \dot{Q}_{rad(in)} = \frac{\sigma(T_{FIR}^4)}{\left(1 - \varepsilon_{FIR}/A_{FIR}\varepsilon_{FIR}\right) + \left(1/A_p F_p \rightarrow FIR\right) + \left(1 - \varepsilon_p/A_p \varepsilon_p\right)}$$

หมายถึงกำลังของรังสีที่ตกลงบนพื้นที่ผิวหัววัด จะสามารถหาได้ดังสมการ

$$\dot{Q}_{rad(in)} = 2A_p \varepsilon_p \sigma(T_p^4 - T_0^4) + 2A_p h(T_p - T_0) + \frac{\sigma(T_{FIR}^4)}{\left(1 - \varepsilon_{FIR}/A_{FIR}\varepsilon_{FIR}\right) + \left(1/A_p F_p \rightarrow FIR\right) + \left(1 - \varepsilon_p/A_p \varepsilon_p\right)} \dots (18)$$

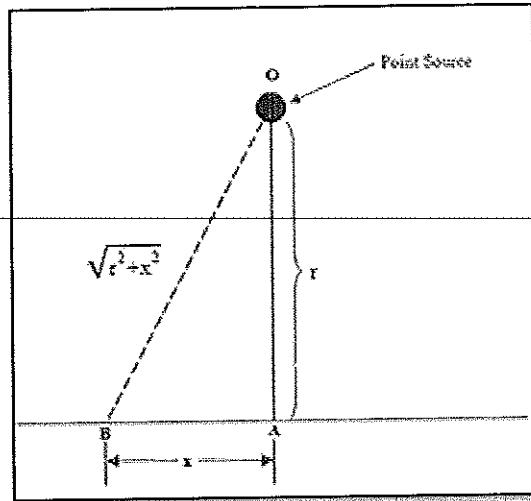
ดังนั้น ความเข้มของรังสีที่ตกลงบนพื้นที่ผิวของหัววัดหาได้จาก

$$I = \frac{\dot{Q}_{rad(in)}}{A_p} \quad \text{หน่วยเป็น W/m}^2 \dots (19)$$

## 2.8 การหาความเข้มของรังสีอินฟราเรด

### 2.8.1 การหาความเข้มของรังสีอินฟราเรดจากแหล่งกำเนิดรังสีที่เป็นจุด

เมื่อแหล่งกำเนิดรังสีอินฟราเรดเป็นจุดกำเนิดเป็นรูปวงกลม ถ้าหากเส้นจากจุดกำเนิดรังสีอินฟราเรดออกไปในแนวตั้งจากกันแหล่งกำเนิดรังสี เส้นที่ลากออกไปนี้เรียกว่า รังสีของอินฟราเรด แสดงได้ดังรูปที่ 2.11



รูปที่ 2.11 การแผ่รังสีของแสงจากแหล่งกำเนิดที่เป็นจุด

จากรูปที่ 2.11 ให้แหล่งกำเนิดรังสีอินฟราเรดที่ศูนย์กลางทรงกลมจินตภาพที่จุด O มีระยะห่างจากหลอดไฟถึงผิวที่พิจารณา  $r$  เมตร มีการกระจายความเข้มของการแผ่รังสีอย่างสม่ำเสมอในทุกทิศทาง  $I$  วัตต์/ตารางเมตร เราสามารถหาความเข้ม  $I$  ที่แผ่ออกมากจากแหล่งกำเนิดรังสีอินฟราเรด โดย กำลังของหลอดรังสีอินฟราเรด  $P$  หารด้วยพื้นที่ผิว A ที่รังสีอินฟราเรดตกกระทบ เจียนเป็นสมการได้ว่า

$$I = \frac{P}{A} \quad \text{หรือ} \quad I = \frac{P}{4\pi r^2} \quad \dots\dots (20)$$

ดังนั้น จากรูปที่ 2.11 เราจะสามารถหาความเข้มที่จุด A และจุด B ได้ดังนี้

$$I_A = \frac{P}{4\pi r^2}$$

และ  $I_B = \frac{P}{4\pi (\sqrt{r^2+x^2})^2}$

$$= \frac{P}{4\pi (r^2+x^2)}$$

เมื่อ

$P$  คือ กำลังไฟฟ้า (W)

$A$  คือ พื้นที่ผิวที่รังสีอินฟราเรดตกกระทบ ( $m^2$ )

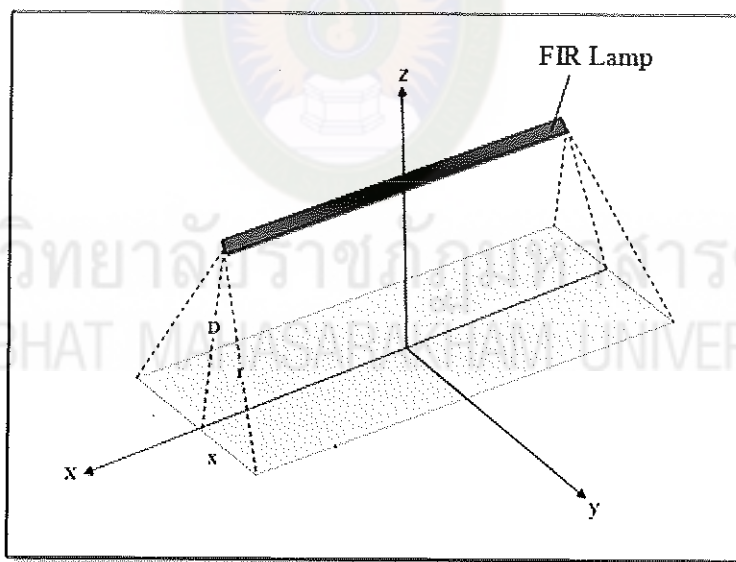
I คือ ความเข้มของการแผ่รังสี ( $\text{W/m}^2$ )

r คือ ระยะห่างจากหลอดไฟถึงผิวที่พิจารณา (m)

จากสมการการหาความเข้มของการแผ่รังสีอินฟราเรด (I) จะเห็นได้ว่า ความเข้มของการแผ่รังสีอินฟราเรดที่ตกกระทบในแนวตั้งจะกับพื้นผิวนั้นจะมีค่าเปรียบผันกับระยะห่างระหว่างแหล่งกำเนิดรังสีอินฟราเรดกับพื้นผิวนั้นยกกำลังสอง จึงเรียกว่า “กฎกำลังสองผันผัน” (Inverse Square's Law) เมื่นได้ว่า

$$I \propto \frac{1}{r^2} \quad \dots\dots (21)$$

#### 2.8.2 การหาความเข้มของการแผ่รังสีอินฟราเรดจากแหล่งกำเนิดรังสีรูปทรงกรวยออกเล็ก ณ จุดใดๆ

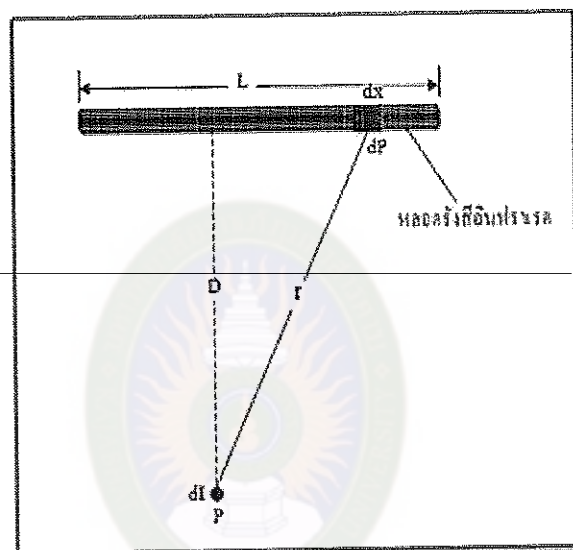


รูปที่ 2.12 ลักษณะการแผ่รังสีอินฟราเรดจากหลอดรูปทรงกรวยออก

- การหาความเข้มของรังสี ณ จุดใดๆบนແตนตรงที่ข้างกับหลอดรังสีอินฟราเรด พิจารณาหลอดรังสีอินฟราเรดที่มีลักษณะเป็นทรงกรวยออกเล็กๆ ดังรูปที่ 2.12 ถ้ากำหนดให้หลอดรังสีอินฟราเรดแผ่รังสีออกมากจากผิวของหลอดรังสีเท่ากันทุกๆ

และมีคุณสมบัติการแผ่รังสีอย่างสมบูรณ์ ดังนี้ส่วนเล็กๆ  $dx$  ตั้งรูปที่ 2.13 บนหลอดรังสีอินฟราเรดจะแผ่รังสีออกมาทำให้เกิดความเข้ม  $dI$  ที่จุด A เป็นไปตามสมการ

$$dI = \frac{dP}{4\pi r^2} \quad \dots\dots (22)$$



รูปที่ 2.13 การแผ่รังสีในลักษณะ 2 มิติ

ถ้าให้กำลังของการแผ่รังสี ( $p$ ) เปรียบัณฑุตตรงกับกำลังไฟฟ้า ( $P$ ) ที่จ่ายให้กับหลอดรังสีอินฟราเรด ดังนี้

$$\begin{aligned} p &\propto P \\ p &= kP \quad ; \text{ โดยที่ } k \text{ คือ ประสิทธิภาพของหลอดรังสีอินฟราเรด} \\ \text{เพราะฉะนั้น} \quad dp &= kdP \quad \dots\dots (23) \end{aligned}$$

แทนค่า  $dp$  จากสมการ (23) ลงในสมการ (22) จะได้

$$dI = \frac{kdP}{4\pi r^2} \quad \dots\dots (24)$$

$$\text{จาก} \quad P = i^2 R \quad \dots\dots (25)$$

แล้ว  $R = \rho \frac{L}{a}$  ..... (26)

เมื่อ  $I$  คือ ความเข้มของการแพร่งสี ( $\text{W/m}^2$ )

$i$  คือ กระแสไฟฟ้า ( $\text{A}$ )

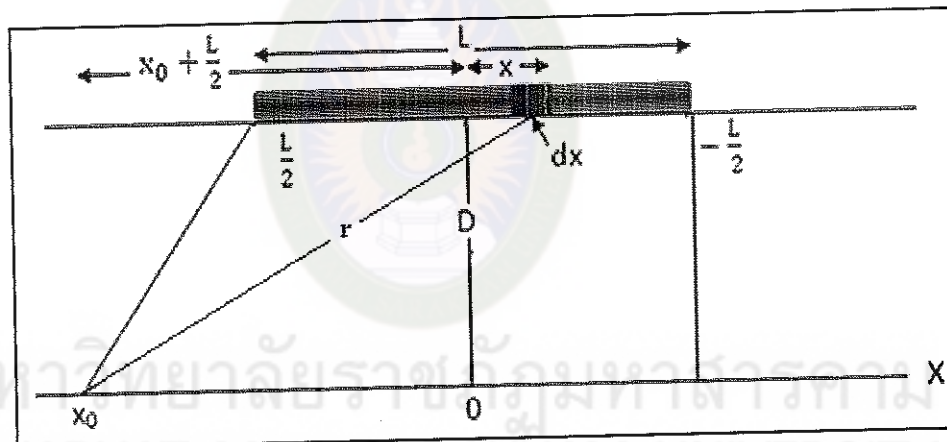
$\rho$  คือ สภาพด้านทาน ( $\Omega\text{-m}$ )

$a$  คือ พื้นที่หน้าตัดของหลอดครั้งสีอินฟราเรด ( $\text{m}^2$ )

$L$  คือ ความยาวของหลอดครั้งสีอินฟราเรด ( $\text{m}$ )

$R$  คือ ความด้านทานของหลอดครั้งสีอินฟราเรด ( $\Omega$ )

พิจารณาความเข้มของรังสีอินฟราเรด ณ จุดในแนวแกน  $x$  ดังรูปที่ 2.14



รูปที่ 2.14 การแพร่งสี ณ จุดใดๆ บนแนวแกน  $x$

ดังนั้น แทนค่าสมการ (25) และสมการ (26) ลงในสมการ (24) จะได้

$$dI = \frac{k i^2 \rho L}{4\pi r^2 a}$$

$$\therefore dI = \frac{k i^2 \rho dL}{4\pi r^2 a}$$

กำหนดให้  $K$  เป็นค่าคงที่ซึ่งมีค่าดังสมการ

$$\begin{aligned} K &= \frac{k i^2 \rho}{4\pi a} \\ \therefore dI &= \frac{K dL}{r^2} \end{aligned} \quad \dots\dots (27)$$

จากสมการที่ (27) สามารถนำไปพิจารณาความเข้มของรังสีอินฟราเรด ณ จุด  $A(x_0, 0)$  โดย บนแนวแกน ซึ่งมีระยะห่างจากหลอดรังสีอินฟราเรดเป็นระยะ  $D$  ดังรูปที่ 2.12 ได้ ดังต่อไปนี้

พิจารณาส่วนเด็กๆ  $dx$  บนหลอดรังสีอินฟราเรดที่แผ่ออกมำทำให้เกิดความเข้ม  $dI$  ที่ จุด  $A$  ดังนั้นจากสมการที่ (27) เมื่อนำมาใช้ในกรณีนี้ จะได้ว่า

$$\begin{aligned} dL &= dx \quad \text{และ} \quad r^2 = (x+x_0)^2 + D^2 \\ \therefore dI &= \frac{K dx}{(x+x_0)^2 + D^2} \end{aligned}$$

ดังนั้น

$$\int dI = K \int_{-L/2}^{L/2} \frac{d(x+x_0)}{(x+x_0)^2 + D^2}$$

จาก

$$\int \frac{du}{u^2+a^2} = \frac{1}{a} \tan^{-1} \left( \frac{u}{a} \right)$$

จะได้

$$I = \frac{K}{D} \tan^{-1} \frac{x+x_0}{D} \Big|_{-L/2}^{L/2}$$

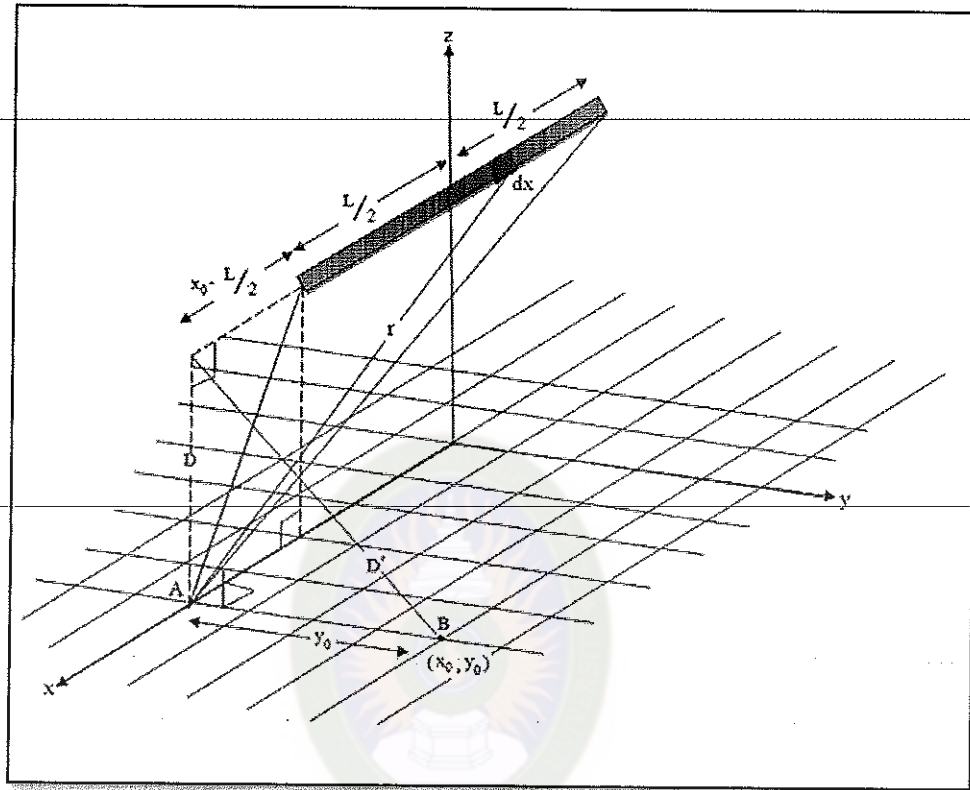
$$\therefore I = \frac{K}{D} \left( \tan^{-1} \frac{\frac{L}{2}+x_0}{D} - \tan^{-1} \frac{-\frac{L}{2}+x_0}{D} \right) \quad \dots\dots (28)$$

เมื่อ  $I$  คือ ความเข้มของการแผรังสี ( $\text{W/m}^2$ )

$L$  คือ ความยาวของหลอดรังสีอินฟราเรด ( $\text{m}$ )

$D$  คือ ระยะห่างจากหลอดรังสีอินฟราเรดถึงพื้นในแนวตั้งลง ( $\text{m}$ )

2. การหาความเข้มของรังสี ณ จุดใดๆบนระนาบที่นานกับหลอดรังสีอินฟราเรด



รูปที่ 2.15 การแผ่รังสีอินฟราเรด ณ จุดใดๆ บนระนาบ  
พิจารณาหาความเข้มรังสี ณ จุด  $B(x_0, y_0)$  ซึ่งเป็นจุดใดๆ บนระนาบที่นานกับหลอด  
รังสีอินฟราเรด ตั้งรูปที่ 2.15

จะได้ว่า

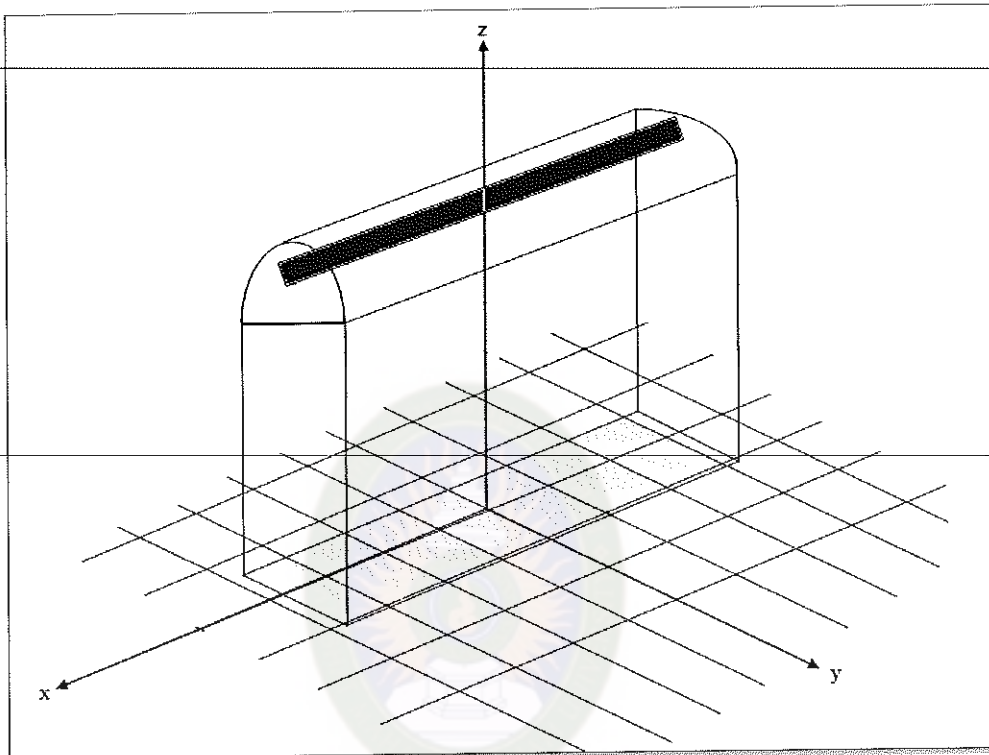
$$I = \frac{K}{D'} \left( \tan^{-1} \frac{\frac{L}{2} + x_0}{D'} - \tan^{-1} \frac{x_0 - \frac{L}{2}}{D'} \right) \quad \dots \dots (29)$$

กำหนดให้  $D' = \sqrt{D^2 + y_0^2}$

$$\therefore I = \frac{K}{\sqrt{D^2 + y_0^2}} \left( \tan^{-1} \frac{\frac{L}{2} + x_0}{\sqrt{D^2 + y_0^2}} - \tan^{-1} \frac{x_0 - \frac{L}{2}}{\sqrt{D^2 + y_0^2}} \right) \quad \dots \dots (30)$$

### 3. การหาความเข้มของรังสี ณ จุดใดๆ บนรูปแบบที่ขานกับหลอดรังสีอินฟราเรด

เมื่อมีโคมสะท้อนติดตั้งที่ด้านบนของหลอด



รูปที่ 2.16 การแพร่รังสีอินฟราเรด ณ จุดใดๆ บนรูปแบบเมื่อมีโคมสะท้อนติดตั้งที่ด้านบนของหลอด

เมื่อมีการติดตั้งโคมสะท้อนรังสีรูป平行มาที่ด้านบนหลอด จะทำให้รังสีจากหลอดที่แผ่ขึ้นด้านบนสะท้อนกลับลงมาด้านล่าง ถ้าดำเนินการของหลอดรังสีอยู่ที่จุดไฟกัส ลักษณะของรังสีที่สะท้อนกลับลงมาจะเป็นลักษณะก้น จึงทำให้เกิดพื้นที่รับรังสีมีรูปร่างเหลี่ยมผืนผ้าขนาดเท่ากับพื้นที่หน้าตัดของโคม การพิจารณาความเข้มของรังสีที่เกิดจากการสะท้อนจากโคม จะพิจารณาทางได้ดังนี้

จากรูปที่ 2.17 เราสามารถวิเคราะห์หาความเข้มของรังสีอินฟราเรดที่เกิดจากการสะท้อนจากโคม ต่อกำหนดบนพื้นที่รับรังสีได้ ดังนี้

$$I_{ref} = \frac{kP\phi}{2\pi A} \quad \text{หน่วยเป็น } W/m^2 \quad \dots\dots (34)$$

เมื่อ  $I_{ref}$  คือ ความเข้มของรังสีอินฟราเรดเมื่อมีโคมสะท้อน ( $W/m^2$ )

$k$  คือ ถัมประสิทธิ์การสะท้อนของหลอดรังสีอินฟราเรด

$L$  คือ ความยาวของหลอดรังสีอินฟราเรด (m)

$r$  คือ รัศมีของหลอดรังสีอินฟราเรด (m)

$A_\phi$  คือ พื้นที่หลอดแผ่นนี้ไปด้านบนเป็นมุม  $\phi$  ( $m^2$ )

$P\phi$  คือ พลังงานการแผ่รังสีเป็นมุม  $\phi$  (W)

ดังนั้น สามารถหาความเข้มของรังสี ณ จุดใดๆ บนระนาบที่ขนานกับหลอดรังสี อินฟราเรด เมื่อมีโคมสะท้อนติดตั้งที่ด้านบนของหลอด ได้จากการรวมสมการ (30) กับ (34) ดังนั้นจะได้ว่า

$$\therefore I = \frac{k}{\sqrt{D^2+y_0^2}} \left( \tan^{-1} \frac{\frac{L}{2}+x_0}{\sqrt{D^2+y_0^2}} - \tan^{-1} \frac{x_0-\frac{L}{2}}{\sqrt{D^2+y_0^2}} \right) + \frac{kP\phi}{2\pi A} \quad \dots\dots (35)$$

## 2.9 งานวิจัยที่เกี่ยวข้อง

**อุรัตน์ ภักร Jin ดาวนุวงศ์ (2545)** ศึกษาการออกแบบชุดหัววัดเพื่อใช้ในการวัดปริมาณรังสีอินฟราเรด โดยใช้หลอดความร้อนโลจิกเป็นแหล่งกำเนิดรังสีอินฟราเรดใช้ตัวตรวจวัดเป็นแบบทอร์โน่ไฟล์นำผล และสิ่งที่สังเกตได้ในการทำการทดลองมาใช้ในการออกแบบ เช่นการนำความร้อนภายในตัวตรวจวัด และการเคลื่อนที่ของลม เมื่อทำการศึกษาผลการออกแบบ พบว่าชุดหัววัดนี้สามารถนำไปใช้งานในกระบวนการที่มีอุณหภูมิสูงได้ดี และสามารถนำไปประยุกต์ใช้งานอื่นๆ ได้ เช่นช่วยในการควบคุมคุณภาพงานเชื่อม การวัดปริมาณความร้อนแบบไม่สัมผัส ของตู้อบหรือเตาหลอมในภาคอุตสาหกรรม และการตรวจสอบคุณภาพแหล่งกำเนิดรังสีอินฟราเรดของเครื่องมือแพทย์ เป็นต้น ซึ่งเป็นการออกแบบและสร้างเครื่องตรวจวัดปริมาณรังสีอินฟราเรดที่มีขนาดกะทัดรัด โดยมีวัตถุประสงค์เพื่อการนำไปใช้งานเป็นเครื่องมือวัดปริมาณรังสีอินฟราเรดในกระบวนการเชื่อมพลาสติก หรือประยุกต์ใช้ได้กับงานที่เกี่ยวข้องอื่นๆ ที่ใช้พลังงานรังสีอินฟราเรด

**ศิริพงษ์ เทคนา (2550)** ศึกษาการทำงานของเทอร์โมคัปเปลอินฟราเรดของบริษัท Exergen รุ่น IRT/CX1 เพื่อใช้เป็นตัวตรวจวัดอุณหภูมิแบบไม่สัมผัส สัญญาณเอาท์พุทจากเทอร์โมคัปเปลอินฟราเรด ได้รับการขยายด้วยไอซีเมอร์ AX595 ส่งต่อไปยังไมโครคอนโทรลเลอร์ ตระกูล PIC16 เพื่อแปลงสัญญาณและประมวลผลซึ่งผลของการวัดจะแสดงเป็นอุณหภูมิของศาส泽เซียบทางจากคอมพิวเตอร์โดยซอฟแวร์โปรแกรม Visual Basic และ Microsoft Excel จากการสอบเทียบ (Calibration) เครื่องมือที่สร้างขึ้นกับตัวสอบเทียบการวัดอุณหภูมิแบบอินฟราเรดของบริษัท Hart Scientific รุ่น 9113 ณ ห้องปฏิบัติการอุณหภูมิเชิงแสง ฝ่ายมาตรฐานวิทยาอุณหภูมิสถาบันมาตรฐานวิทยาแห่งชาติ ประเทศไทย พบว่าเครื่องมือที่สร้างขึ้นมีการตอบสนอง (Responsibility) อุณหภูมิในช่วง  $40^{\circ}\text{C}$  ถึง  $140^{\circ}\text{C}$  ได้ดี มีความแม่นยำ (Accuracy) เท่ากับ  $\pm 3.719^{\circ}\text{C}$  มีความเป็นเส้น (Linearity) และสามารถสอบเทียบข้อมูลได้ (Traceability) ผลของการวัด

สูรพันธ์ ยิ่งนั้น และคณะ (2545) ศึกษาคุณสมบัติของเทอร์โนมคัปเปิลที่มักประสบปัญหา คือ ไม่สามารถสร้างอุณหภูมิจริงให้กับตัวเทอร์โนมคัปเปิลได้ จึงได้เสนอการสร้างเครื่องเลียนแบบการทำงานของเทอร์โนมคัปเปิล โดยใช้ไมโครคอนโทรลเลอร์ MCS-51 ทำงานภายใต้อัลกอริทึม การประมาณค่า Discrete Least Square และสามารถจำลองการทำงานของเทอร์โนมคัปเปิล Type J, K มีช่วงอุณหภูมิ 0-600 องศาเซลเซียส ผลการทดลองพบว่าชุดเลียนแบบการทำงานของเทอร์โนมคัปเปิล จะให้ค่าแรงไกด์เกียงกับมาตรฐาน



มหาวิทยาลัยราชภัฏมหาสารคาม  
RAJABHAT MAHASARAKHAM UNIVERSITY